

# 2024~2025 学年度上期高中 2024 级期末考试

## 地 理

考试时间 75 分钟，满分 100 分

### 注意事项：

1. 答题前，考生务必在答题卡上将自己的姓名、座位号和准考证号用 0.5 毫米黑色签字笔填写清楚，考生考试条形码由监考老师粘贴在答题卡上的“贴条形码区”。

2. 选择题使用 2B 铅笔填涂在答题卡上对应题目标号的位置上，如需改动，用橡皮擦擦干净后再填涂其它答案；非选择题用 0.5 毫米黑色签字笔在答题卡的对应区域内作答，超出答题区域答题的答案无效；在草稿纸上、试卷上答题无效。

3. 考试结束后由监考老师将答题卡收回。

一、选择题：本题共 35 小题，每小题 2 分，共 70 分。在每个小题给出的四个选项中，只有一项是符合题目要求的。

2023 年 9 月 17 日，位于青藏高原（青海省海西蒙古族藏族自治州冷湖镇）海拔 4 200 米赛什腾山的墨子巡天望远镜（光学）正式投入观测（图 1），由这架望远镜试观测拍摄的一张距地球 200 万光年的由众多恒星组成的仙女座星系照片同日公布（图 2）。图 3 是太阳在银河系中的位置。据此完成 1~3 题。



图 1



图 2

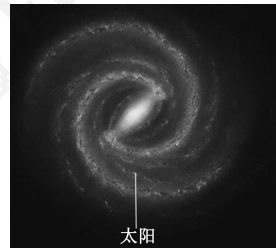


图 3

- 墨子巡天望远镜选址的有利条件是
 

① 地势低平，大气能见度好	② 风速大，透光性好
③ 晴天多，大气透明度高	④ 人烟稀少，光污染少

A. ①②                      B. ①④                      C. ②③                      D. ③④
- 适宜的温度是地球存在高级智慧生命的重要条件。与太阳系其他行星相比，地球表面温度适宜主要得益于
 

① 日地距离适中	② 太阳光照稳定
③ 大气成分适宜	④ 宇宙环境安全

A. ①②                      B. ①③                      C. ②④                      D. ③④
- 与仙女座星系等级相同的天体系统是
 

A. 地月系	B. 太阳系	C. 银河系	D. 可观测宇宙
--------	--------	--------	----------

太阳黑子的变化周期一般被认为是太阳活动的周期，大多数太阳耀斑和太阳黑子活动相关。2024 年太阳活动正式进入了有记录以来的第 25 个极大期（峰值）。中国国家空间天气监测预警中心发布，太阳在北京时间 2024 年 1 月 1 日 5 时 55 分时爆发了一个 X5.0 级强太阳耀斑，据此完成 4~5 题。

4. 推测第 24 个太阳活动极大期最可能的年份是  
 A. 2009 年                      B. 2013 年                      C. 2017 年                      D. 2021 年
5. 太阳耀斑爆发时对地球的影响有  
 A. 产生流星、极光等现象                      B. 扰动对流层，产生天气变化  
 C. 产生磁暴、潮汐等现象                      D. 影响卫星导航、无线电通信

2024 年 3 月在中国香港特别行政区赤洲岛首次发现恐龙化石。赤洲岛一边为火山岩地貌（岩浆经火山口喷出到地表后冷凝形成），一边为丹霞地貌（形成丹霞地貌的岩层是古生代至新生代的红色砂砾岩沉积形成）。图 4 为香港赤洲岛恐龙化石。据此完成 6~8 题。



图 4

6. 该化石可能属于  
 A. 前寒武纪                      B. 古生代                      C. 中生代                      D. 新生代
7. 形成赤洲岛火山岩地貌的物质来源于  
 A. 内核                      B. 外核                      C. 上地幔                      D. 下地幔
8. 形成丹霞地貌的岩层  
 A. 底层较为古老                      B. 全部都有化石  
 C. 是可溶性岩石                      D. 没有层理结构

新生代时期，地球上出现胡杨。胡杨因生长在塔里木河流域（古时所谓的“胡地”）而得名。图 5 是新疆胡杨林景观。据此完成 9~11 题。



图 5

9. 胡杨出现的地质历史时期  
 A. 联合古陆形成                      B. 蕨类植物繁盛  
 C. 爬行动物盛行                      D. 被子植物繁盛
10. 图中涉及到的地球外部圈层有  
 ① 大气圈                      ② 水圈                      ③ 生物圈                      ④ 岩石圈  
 A. ①②③                      B. ①②④                      C. ①③④                      D. ②③④
11. 关于地球圈层的叙述，正确的是  
 A. 大气圈中的平流层有云、雨、雾、雪等天气现象，与人类息息相关  
 B. 水圈的主体是冰川，包括陆地上的河流、湖泊、沼泽、地下水等  
 C. 生物圈能促进太阳能的转化，但不改变大气圈和水圈的组成  
 D. 地貌是出露地表的岩石圈在其他圈层综合作用下呈现的形态

进入工业革命以来，人类向大气中排放了大量二氧化碳，改变大气成分的同时，也对人类的生存和发展产生了一定的影响。据此完成 12~14 题。

12. 二氧化碳主要存在于大气的  
A. 对流层                      B. 平流层                      C. 电离层                      D. 高层大气
13. 大气中二氧化碳含量增加，主要是因为  
A. 人口数量的减少                      B. 化石燃料的燃烧  
C. 植物的光合作用                      D. 植物的呼吸作用
14. 大气中二氧化碳的作用是  
① 吸收紫外线                      ② 吸收地面辐射  
③ 作为光合作用原料                      ④ 成云致雨必要条件  
A. ①②                      B. ①④                      C. ②③                      D. ③④

为防止冬春季冷空气来袭时低温冻害影响果树生长，有的果农在地面铺上厚厚的秸秆，有的果农则采用人造烟雾来防冻。图 6 示意大气受热过程（①~⑥代表辐射类型或大气对能量转化的影响）。据此完成 15~16 题。

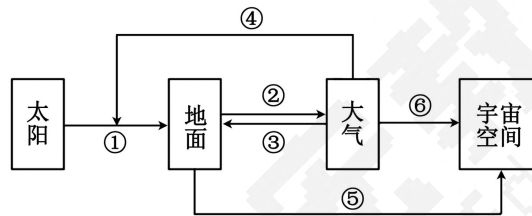


图 6

15. 图 6 所示的能量转换过程环节中  
A. ①是大气增温的直接热源                      B. ④示意大气逆辐射  
C. ⑤示意地面辐射                      D. ⑥示意大气的削弱作用
16. 上述两种防冻措施的作用分别是使图 6 中  
A. ②增强，④增强                      B. ②增强，③增强  
C. ②减弱，④减弱                      D. ②减弱，③增强

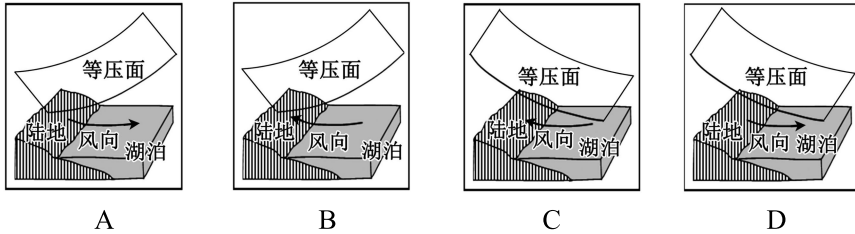
赛里木湖是新疆最大的高山湖泊，每至夏秋，湖滨绿草如茵，湖水清澈湛蓝。2024 年 7 月，小明某天午后到赛里木湖湖滨（图 7）游览，感觉丝丝微风迎面而来，非常舒适。据此完成 17~19 题。



图 7

17. 导致赛里木湖湖陆风形成的根本原因是湖泊与陆地间  
A. 海拔高度差异                      B. 日照时长差异  
C. 热力性质差异                      D. 融冰时间差异

18. 赛里木湖近地面湖陆风最显著的季节是  
 A. 春季                      B. 夏季                      C. 秋季                      D. 冬季
19. 下图中能够体现小明在湖滨游览时风向和气压状况的是



吃水深度是指船舶从底部到船体与水面相连处的垂直距离，其受到船舶重量、水域密度等多种因素的影响。一般来说，表层海水由密度小的海域流向密度大的海域。图8为红海周边区域及红海的盐度分布图。据此完成20~22题。

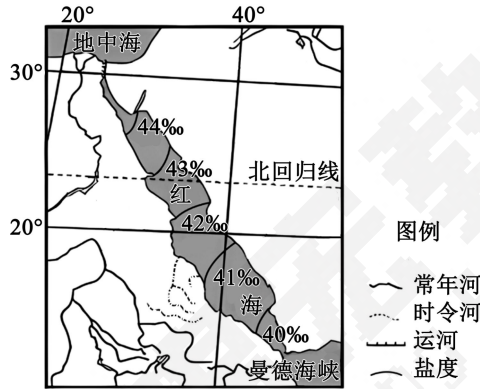


图8

20. 与赤道地区相比，红海的表层海水  
 A. 盐度低、密度大                      B. 盐度高、密度小  
 C. 盐度高、密度大                      D. 盐度低、密度小
21. 红海南部盐度低于北部的主要原因是南部  
 A. 水体交换较多                      B. 海水温度较低  
 C. 蒸发量较小                      D. 入海径流汇入多
22. 一艘集装箱货轮由曼德海峡驶出红海，该轮船  
 A. 顺流，吃水深度变浅                      B. 逆流，吃水深度变浅  
 C. 顺流，吃水深度变深                      D. 逆流，吃水深度变深

2023年8月24日，日本正式将福岛核污水排放入海，该举措遭到全世界各国的强烈反对。图9为太平洋主要洋流分布及福岛第一核电站位置图。据此完成23~25题。

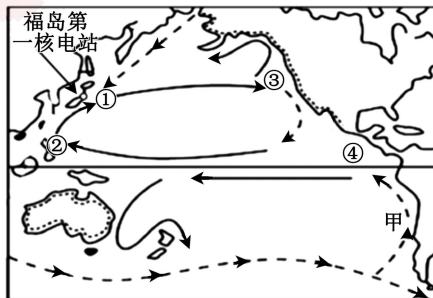


图9

23. 南太平洋东侧甲洋流的洋流性质和影响是  
 A. 暖流, 增温增湿  
 B. 寒流, 降温减湿  
 C. 暖流, 增温减湿  
 D. 寒流, 降温增湿
24. 图 9 中最有可能形成大型渔场的是  
 A. ①  
 B. ②  
 C. ③  
 D. ④
25. 日本将核污水排海, 遭到全世界的强烈反对。是因为核污水将  
 ① 改变水循环的主要环节  
 ② 通过食物链富集影响人体健康  
 ③ 导致全球性的气候变化  
 ④ 污染水质, 危害海洋渔业资源  
 A. ①②  
 B. ①③  
 C. ②④  
 D. ③④

位于鄱阳湖畔的多宝沙山被誉为“江南第一戈壁滩”。一年中, 多宝沙山在冬春季节增长速度最快。图 10 为多宝沙山位置示意图, 图 11 为多宝沙山景观图。据此完成 26~27 题。



图 10



图 11

26. 塑造多宝沙山的外力作用是  
 A. 流水沉积  
 B. 流水侵蚀  
 C. 风力侵蚀  
 D. 风力堆积
27. 一年中, 多宝沙山在冬春季节增长速度最快。主要是因为冬春季  
 ① 风力强劲  
 ② 河流搬运作用强  
 ③ 湖滩裸露面积大  
 ④ 植被覆盖率高  
 A. ①②  
 B. ①③  
 C. ②③  
 D. ②④

暑假某研学小组前往某景区开展地貌野外考察, 同学们发现该景区有索道、步行栈道和公路等上山路径。同学们选择沿栈道拾级而上, 穿行于盛夏的林海中, 考察当地地貌, 再沿公路返回。图 12 为该地区等高线地形图。据此完成 28~30 题。

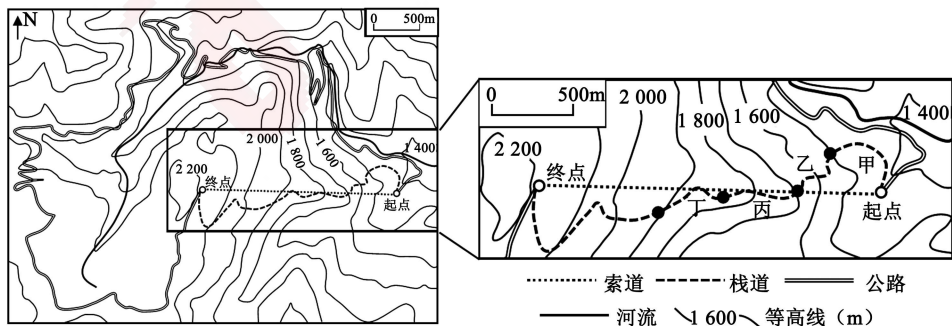


图 12

28. 图中索道起点与终点相对高差最可能为  
 A. 550 米  
 B. 600 米  
 C. 750 米  
 D. 800 米

29. 与栈道和索道比较, 上山公路
- A. 路线较长, 以减小坡度  
B. 路程最短, 可节省上山时间  
C. 路线较长, 便于欣赏风景  
D. 路程最短, 保证通行安全
30. 上山栈道甲、乙、丙、丁四段线路中坡度最大的是
- A. 甲段  
B. 乙段  
C. 丙段  
D. 丁段

秋风起, 银杏黄。每年深秋, 绚烂金黄的银杏美景便如约而至, 它悄无声息地将秋天的绚烂渲染到极致。表 1 为中国天气网公布的特色银杏观赏地和最佳时间。据此完成 31~32 题。

表 1

观赏地	地理位置	海拔	最佳观赏时间
丹东金光大道	124°E, 40°N	18 m	10 月下旬至 11 月上旬
北京地坛公园	116°E, 40°N	42 m	11 月初至中旬
日照莒县浮来山定林寺	118°E, 35°N	299 m	11 月上旬至中旬
西安古观音禅寺	109°E, 34°N	2 200 m	10 月下旬至 11 月上旬
桂林灵川县海洋乡	110°E, 25°N	800 m	11 月中旬至 12 月中旬
六盘水安乐村	104°E, 26°N	1 500 m	10 月下旬至 11 月下旬

31. 影响银杏最佳观赏时间差异的主要因素是
- A. 光照  
B. 降水  
C. 热量  
D. 地形
32. 导致桂林和六盘水两地银杏观赏时间差异的主要因素是
- A. 地形地势  
B. 距海远近  
C. 纬度差异  
D. 太阳辐射

Z179 次列车是运行在北京至乌鲁木齐市之间的直达特快列车, 全程 3 355 千米。暑期小明从北京出发乘坐该列车开展暑期“深度游”, 旅途中发现植被景观差异显著。图 13 示意 Z179 次列车路线图和小明在旅途中拍摄的植被景观照片。据此完成 33~35 题。

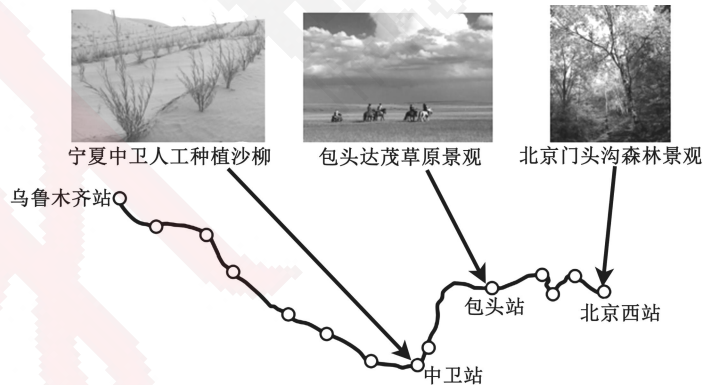


图 13

33. 小明乘坐 Z179 次列车从北京前往乌鲁木齐途中发现植被景观差异显著, 导致植被景观差异的影响因素是
- A. 热量  
B. 水分  
C. 光照  
D. 土壤
34. 与北京门头沟森林景观相比, 热带雨林
- A. 植被耐阴、喜湿、耐低温  
B. 植物种类较少  
C. 乔木叶片宽阔、秋冬季节落叶  
D. 群落垂直结构复杂
35. 随着全球气温的升高, 宁夏中卫当地蒸发会加剧, 当地沙柳最可能发生的变化是
- A. 地上部分植株变高大  
B. 地上部分叶片变大  
C. 地下部分向深处生长  
D. 地下部分缩小减少

二、非选择题：本题共 3 小题，共 30 分。

36. 阅读图文材料，完成下列要求。（10 分）

图 14 为某时刻亚洲部分地区海平面等压线分布图（图 a）与局部地区海平面等压线分布图（图 b）（单位：hPa）。风的符号由风杆和风尾组成，风杆表示风向，风尾表示风力。图 15 为风的符号。

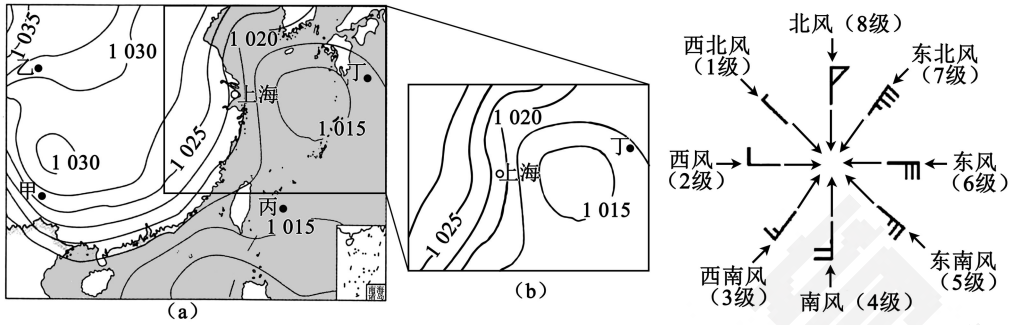


图 14

图 15

- (1) 甲、乙、丙、丁四处风速最小的是\_\_\_\_\_，理由是\_\_\_\_\_。（3分）
- (2) 图 14 (a) 所示区域气压变化的总趋势是\_\_\_\_\_，图示区域最大气压差范围是\_\_\_\_\_hPa。（2分）
- (3) 在图 14 (b) 中绘制并标注所示时刻上海市风向及受力状况。假如丁处风力为 4 级，在丁处绘出风的符号。（5分）

37. 阅读图文材料，完成下列要求。（10 分）

材料一

水循环是联系地球各圈层的纽带，深度参与区域地理环境的形成与演变。图 16 示意水循环过程。

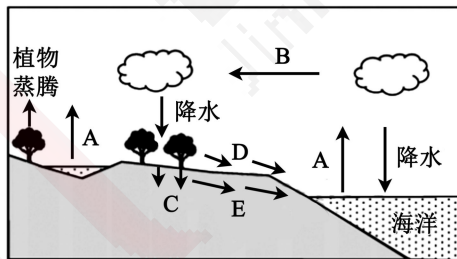


图 16

材料二

受人类活动影响，历史上黄河中游地区植被破坏严重，水土流失严重。20 世纪 70 年代以来，黄土高原开展营造梯田、修建淤地坝、植树种草等小流域综合治理措施，有效治理区域水土流失。图 17 示意黄河流经的主要地形区，图 18 示意小流域综合治理措施。



图 17

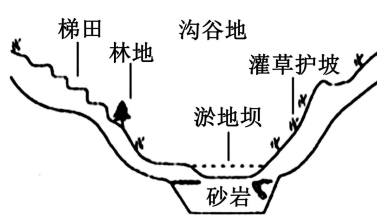
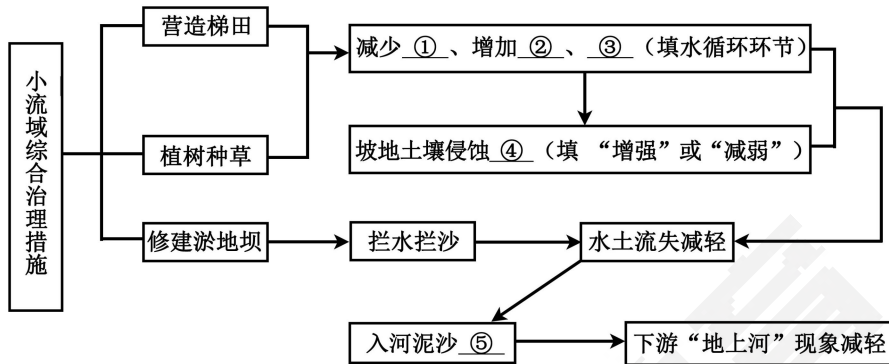


图 18

- (1) 图 16 中各序号代表的水循环环节的名称是：A \_\_\_\_\_、B \_\_\_\_\_、C \_\_\_\_\_、D \_\_\_\_\_、E \_\_\_\_\_。(5 分)
- (2) 某地理兴趣小组绘制了小流域综合治理措施对治理黄土高原水土流失和下游“地上河”作用的思维导图，请将缺失部分填充完整。(5 分)



38. 阅读图文材料，完成下列要求。(10 分)

雅鲁藏布江(图 19)发源于我国西藏喜马拉雅山区，进入南亚后被称为布拉马普特拉河，注入孟加拉湾。不同年份，来自海洋的西南季风强弱不定，导致河流水量变化明显。

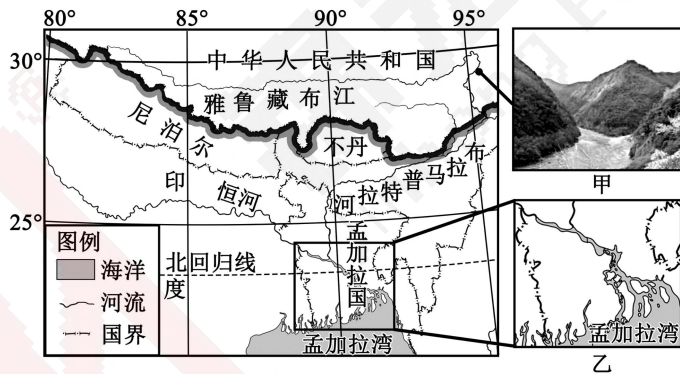


图 19

- (1) 甲河谷形态呈现 \_\_\_\_\_ 形，因流水 \_\_\_\_\_ 作用形成；乙图所示河流地貌类型为 \_\_\_\_\_，由河口到孟加拉湾，沉积物颗粒 \_\_\_\_\_ (填“由粗变细”或“由细变粗”)。(4 分)
- (2) 若对甲河谷两侧山体进行地貌观察，请列举三条可开展的主要内容。(3 分)
- (3) 乙图所示入海口为典型的“喇叭口”地形，导致 \_\_\_\_\_ (填海水运动类型) 现象显著。当西南季风较强时，乙图所示入海口处海水盐度 \_\_\_\_\_ (填“变大”或“变小”)，因河流向海洋输送有机物和无机盐类的变化，河口渔业资源 \_\_\_\_\_ (填“增多”或“减少”)。(3 分)